

УДК 536.244

ВЛАДИМИР АНДРЕЕВИЧ БАБКИН

кандидат физико-математических наук, доцент кафедры  
механики строительного факультета ПетрГУ  
*babkin@karelia.ru*

## ПРОФИЛИ СКОРОСТЕЙ И ТЕПЛООБМЕН ПРИ ТУРБУЛЕНТНОМ ТЕЧЕНИИ НЕСЖИМАЕМОЙ ЖИДКОСТИ В ГЛАДКОЙ КРУГЛОЙ ТРУБЕ НЕМАЛОГО ДИАМЕТРА

Модель вихревой анизотропной турбулентности используется для определения полей скоростей и температур при установившемся турбулентном течении несжимаемой жидкости в прямой круглой трубе. Область течения разбивается на пристеночный слой и ядро течения. В пристеночном слое турбулентное течение рассматривается как течение ориентируемой жидкости, локальная анизотропия которой задается так называемым директором (вектором-ориентиром вихревого типа). Турбулентные вязкость и теплопроводность в ядре течения считаются постоянными. Задача о теплообмене при постоянной температуре стенки решается методом Галеркина.

Ключевые слова: вихревые структуры, анизотропная турбулентность, директор, турбулентная вязкость, турбулентная теплопроводность

### ВВЕДЕНИЕ

Существует тесная связь между турбулентностью вязкой жидкости и находящимися в ней вихрями. Переход жидкости из ламинарного режима течения в турбулентный у твердой стенки сопровождается образованием когерентных вихревых структур, называемых  $\Lambda$ -вихрями, или подковообразными вихрями [4], [16], которые в развитом турбулентном течении вблизи твердой стенки образуют устойчивую, плотно упакованную систему [16].

Наблюдаемая в экспериментах связь между турбулентностью и вихревыми структурами стимулировала создание моделей турбулентности, которые тем или иным способом учитывают эту связь. Эти модели называют моделями вихревой турбулентности [1], [8], [17]. Одной из таких моделей является рассматриваемая здесь наша модель [1], [2], предназначенная для описания турбулентных течений в слое, непосредственно прилегающем к твердой поверхности (стенке). В ней

пристеночные структуры рассматриваются как носители локальной вихревой анизотропии, определяющей как турбулентную вязкость, так и турбулентную теплопроводность среды. В связи с этим данная модель называется моделью анизотропной вихревой турбулентности.

В настоящей работе модель пристеночной анизотропной турбулентности [1], [2] используется для решения двух задач – об определении поля скоростей и поля температур при установившемся турбулентном течении несжимаемой жидкости в круглой трубе. Пристеночный слой вихревой турбулентности имеет довольно небольшую толщину, порядка нескольких сантиметров [13], [16], поэтому во всем потоке модель можно применять только в тех случаях, когда толщина пристеночного слоя достигает оси трубы или близка к ней. В трубах больших диаметров поток необходимо делить на две части – пристеночный слой и ядро течения, подобно тому, как это делается в [5], [10]. Если пренебречь влиянием теплообмена на

течение жидкости, то задачи об определении полей скорости и температуры можно решать раздельно [9], [10], что и будет сделано ниже.

Уравнения модели анизотропной турбулентности. В модели [1], [2] пристеночное турбулентное течение вязкой жидкости рассматривается как движение анизотропной среды, анизотропию которой создает система  $\Lambda$ -вихрей.  $\Lambda$ -вихрь имеет вершину как наиболее удаленную от стенки точку вихря и две ветви, убегающие вниз по потоку. При удалении от вершины ветви приближаются к стенке, в пределе располагаясь вдоль нее. По наблюдениям [13], [16], угол наклона вихря к направлению течения у вершины в среднем равен  $40\text{--}45^\circ$ . Согласно [16], вихри создают статистически равное, противоположное вращение, так что среднее значение продольной завихренности равно нулю. В этой ситуации одной из характеристик структуры в точке, влияющих на течение жидкости, является среднее направление вихревых линий, характеризуемое вектором  $\mathbf{n}$ , который, вообще говоря, может быть как единичным, так и произвольной длины, в зависимости от того, учитывается или не учитывается плотность вихревых линий. Вектор  $\mathbf{n}$  называется директором.

Все локальные величины, характеризующие состояние и движение среды, в модели [1], [2] по определению считаются осредненными по объему. Кинематическими параметрами среды в точке являются скорость  $\mathbf{u}$  и директор  $\mathbf{n}$  единичной длины. При таком определении турбулизованная жидкость может рассматриваться как ориентируемая жидкость, модель которой, нацеленная первоначально на описание динамики жидких кристаллов, построена в [11], [15]. Уравнение неразрывности и уравнения движения несжимаемой ориентируемой жидкости в декартовых координатах  $x_i$  имеют вид

$$\frac{\partial u_\alpha}{\partial x_\alpha} = 0, \quad (1)$$

$$\rho \frac{du_i}{dt} = \frac{\partial p_{i\alpha}}{\partial x_\alpha} + \rho f_i, \quad (2)$$

$$\rho \frac{d}{dt} \left( J \frac{dn_i}{dt} \right) = \frac{\partial \beta_{ij}}{\partial x_j} + g_i + \rho G_i, \quad (3)$$

где  $\rho$  – плотность жидкости,  $u_i$  – скорость,  $p_{ij}$  – напряжения,  $f_i$  – плотность массовой силы. Уравнение (3) является характерным уравнением движения ориентируемой жидкости [11], [15]. Величины  $\beta_{ij}$ ,  $g_i$ ,  $G_i$  называются соответственно обобщенными напряжениями, обобщенной внутренней и обобщенной внешней массовой силой. Параметр  $J$  характеризует осредненную инерционность структуры при повороте элементов вихревых нитей. Здесь и ниже по повторяющимся индексам предполагается суммирование от 1 до 3.

Определяющие уравнения учитывают специфику среды. Для турбулизованной жидкости вблизи стенки они имеют вид [1], [2]

$$p_{ij} = -p \delta_{ij} + \sigma_{ij} + \tau_{ij}, \quad (4)$$

$$\sigma_{ij} = K n_{\alpha,i} (n_{j,\alpha} - n_{\alpha,j} + n_j n_\beta n_{\alpha,\beta}), \quad (5)$$

$$\tau_{ij} = \mu_1 n_\alpha n_\beta e_{\alpha\beta} n_i n_j + \mu_0 e_{ij}, \quad (6)$$

$$\beta_{ij} = \kappa_j n_i + K (n_{i,j} - n_{j,i} - n_j n_\alpha n_{i,\alpha}), \quad (7)$$

$$g_i = \chi n_i - (\kappa_\beta n_i)_{,\beta} + K n_\alpha n_{\beta,\alpha} n_{\beta,i}, \quad (8)$$

$$n_{i,j} = \frac{\partial n_i}{\partial x_j}, \quad e_{ij} = \frac{1}{2} \left( \frac{\partial u_i}{\partial x_j} + \frac{\partial u_j}{\partial x_i} \right), \quad (9)$$

где  $p$  – давление;  $\mu_0, \mu_1, K$  – коэффициенты модели;  $\delta_{ij}$  – символ Кронекера;  $\chi$  и  $\kappa_i$  – произвольные скалярная и векторная функции соответственно. Поскольку свойства жидкости вблизи твердой стенки определяются пристеночной вихревой структурой потока, коэффициенты  $\mu_0, \mu_1, K$  могут зависеть от параметров, глобально характеризующих течение, например от числа Рейнольдса.

Для исследования изотермических течений уравнений (1)–(8) достаточно. Однако при решении задачи о теплообмене их необходимо дополнить уравнением притока тепла [15]:

$$\rho \frac{dU}{dt} = p_{ij} e_{ij} + \beta_{ij} N_{ij} - g_i N_i + Q - \frac{\partial q_i}{\partial x_i}, \quad (10)$$

где  $U$  – внутренняя энергия, отнесенная к единице массы,  $Q$  – интенсивность источника тепла,  $q_i$  – плотность потока тепла. Кинематические параметры  $N_i, N_{ij}$  определяются формулами:

$$N_i = \dot{n}_i - \omega_{i\alpha} n_\alpha, \quad N_{i,j} = \dot{n}_{i,j} - \omega_{i\alpha} n_{\alpha,j} \quad (11)$$

$$2\omega_{ij} = u_{i,j} - u_{j,i}, \quad \dot{n}_i = \frac{dn_i}{dt}.$$

*Профиль скоростей.* Пусть в бесконечной прямой круглой трубе радиуса  $R$  в режиме установившегося турбулентного течения движется вязкая несжимаемая жидкость. Введем цилиндрическую систему координат  $r, \varphi, x$  с осью  $x$  по оси трубы в направлении течения. Область течения зададим как объединение ядра течения  $0 \leq r < r_0$  и пристеночной области  $r_0 \leq r \leq R$ . Найдем вначале профиль скоростей в пристеночной области. Предположим, что коэффициенты  $\mu_0, \mu_1, K$  и инерционный параметр  $J$  при заданных условиях течения постоянны. Пренебрегая внешними массовыми силами  $f_i$  и  $G_i$ , скорость  $u_i$  и директор  $n_i$  будем искать в виде

$$u_x = u(r), \quad u_r = u_\varphi = 0, \quad n_x = \cos \theta(r), \quad (12)$$

$$n_r = \sin \theta(r), \quad n_\varphi = 0,$$

где  $\theta$  – угол между директором  $n_i$  и осью  $x$ .

Подстановка выражений (12) в уравнения (1)–(8) с учетом сделанных предположений при-

водит к необходимым для решения задачи уравнениям. Уравнение неразрывности (1) удовлетворяется тождественно. Пользуясь произволом  $\chi$  и  $\kappa_i$  в формулах (7) и (8), положим их равными нулю. В результате из уравнений (3) получим одно уравнение для  $\theta(r)$  в виде [1], [2]

$$\sin \theta \cos \theta \left( \theta'' + \frac{\theta'}{r} \right) - (2 - 3 \cos^2 \theta) \theta'^2 = 0. \quad (13)$$

Здесь и далее штрихами обозначены производные по координате  $r$ .

Уравнения (2), (4)–(6), совместно с (12) после небольших преобразований дают уравнение для профиля скоростей  $u(r)$  [1], [2]

$$\left( \mu_1 \sin^2 \theta \cos^2 \theta + \frac{\mu_0}{2} \right) u' = -\frac{r}{R} \tau_w, \quad (14)$$

где  $\tau_w$  – модуль касательного напряжения на стенке трубы.

Для трубы с гладкими стенками граничные условия прилегания вихревых линий к стенке и прилипания жидкости к ней имеют вид

$$\theta|_{r=R} = 0, \quad u|_{r=R} = 0. \quad (15)$$

Первое интегрирование уравнения (13) дает

$$r \sin \theta \cos^2 \theta \theta' = -bR, \quad (16)$$

где  $(-b)$  – постоянная интегрирования, которую на данном этапе исследований приходится определять экспериментально; перед  $b$  взят знак минус, чтобы  $b > 0$ . При сравнении решений ряда задач с опытными данными для воздуха выяснилось, что  $b = 4,83 \text{ м}^{-1}$  [3].

Интегрируя уравнение (16) с первым граничным условием (15), имеем

$$\cos^3 \theta = 1 + 3bR \ln \xi, \quad \xi = \frac{r}{R}. \quad (17)$$

Вблизи стенки трубы функцию  $\ln \xi$  заменим первым членом ее разложения в ряд Тейлора – функцией  $(\xi - 1)$ , тогда получим

$$\cos \theta = [1 - 3bR(1 - \xi)]^{1/3}. \quad (18)$$

Подстановка формулы (18) в уравнение (14) и интегрирование его затем со вторым граничным условием (15) дают искомый профиль скоростей в пристеночном слое:

$$\begin{aligned} u &= Au_* [\Phi(\xi) - \Phi(1)], \\ \Phi(\xi) &= F(t(\xi)), \\ t(\xi) &= [1 - 3bR(1 - \xi)]^{1/3}, \end{aligned} \quad (19)$$

$$\begin{aligned} F(t) &= \frac{3bR - 1}{2\gamma^2 - 1} \left( \sqrt{\gamma^2 - 1} \arctg \frac{t}{\sqrt{\gamma^2 - 1}} + \frac{\gamma}{2} \ln \frac{\gamma - t}{\gamma + t} \right) + \\ &+ \frac{1 + 2\varepsilon}{4(2\gamma^2 - 1)} \ln \frac{\gamma^2 - t^2}{t^2 + \gamma^2 - 1} + \frac{1}{4} \ln |t^4 - t^2 - \varepsilon| + \frac{t^2}{2}, \\ A &= \frac{\rho u_*}{3\mu_1 b^2 R}, \quad u_* = \sqrt{\frac{\tau_w}{\rho}}, \quad \varepsilon = \frac{\mu_0}{2\mu_1}, \quad 2\gamma^2 = 1 + \sqrt{1 + 4\varepsilon}, \end{aligned}$$

где  $u_*$  – динамическая скорость.

При определении профиля скоростей в ядре течения, как и в [5], [10], воспользуемся предположением о постоянстве турбулентной вязкости в ядре при фиксированных числе Рейнольдса и радиусе трубы. Условием сращивания профилей является равенство турбулентных вязкостей на границе областей  $r = r_0$ . Как видно из уравнения (14), динамическая турбулентная вязкость в пристеночном слое задается формулой

$$\mu_T = \mu_1 \sin^2 \theta \cos^2 \theta + \frac{1}{2} \mu_0. \quad (20)$$

На рис. 1 даны графики зависимости безразмерной кинематической турбулентной вязкости  $N = \mu_T / (\rho u_* R)$  от безразмерного расстояния от стенки  $\eta = (1 - \xi)$  при течении воздуха (плотность  $\rho = 1,205 \text{ кг/м}^3$ , кинематическая вязкость  $\nu = 1,50 \cdot 10^{-5} \text{ м}^2/\text{с}$ ) в трубе диаметром  $d = 247 \text{ мм}$  и числом Рейнольдса  $Re = 40260$  ( $Re = wd/\nu$ , где  $w$  – средняя скорость). Кривая 1 – расчет по формулам (20) и (17) при  $b = 4,83 \text{ м}^{-1}$ ,  $\mu_0 = 1,85 \cdot 10^{-6} \text{ Па} \cdot \text{с}$ ,  $\mu_1 = 0,047 \cdot u_* \text{ Па} \cdot \text{с}$ , [3]; кривая 2 – аппроксимация [19] опытных данных Лауфера [14]; кривая 3 – график эмпирической формулы Рейхардта [18]

$$N = 0.0666 [1 - (1 - \eta)^2] [1 + 2(1 - \eta)^2]. \quad (21)$$

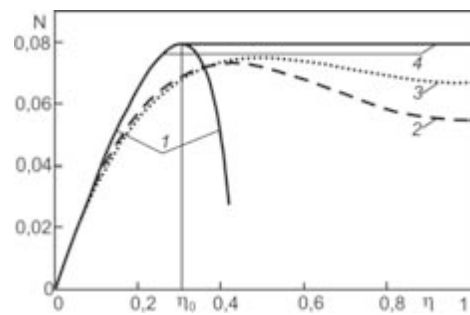


Рис. 1

В пристеночной области графики аналогичны: все кривые монотонно растут, достигая в близких точках близких максимальных значений. За точкой экстремума кривая 1 резко падает, тогда как кривые 2 и 3 показывают слабое падение за точками экстремума при приближении к оси потока. Существование точки экстремума на графиках  $N(\eta)$ , особенно явное на кривой 1, дает основания определить границу между пристеночным слоем и ядром течения как поверхность  $r = r_0$  (на рис. 1 точка  $\eta_0 = (R - r_0)/R$ ), на которой

турбулентная вязкость (20) достигает максимального значения. Очевидно, в этой точке угол  $\theta = 45^\circ$ , что вполне согласуется с максимальными наблюдаемыми значениями углов наклона пристеночных вихрей [13], [16].

По условию сращения скоростей на границе областей постоянной турбулентную вязкость в ядре  $\mu_{T0}$  определим как  $\mu_{T0} = \mu_T(\eta_0)$ , где  $\mu_T$  – функция, определяемая формулами (20) и (17). На рис. 1 принятой по всему сечению трубы вязкости соответствует кривая 4. Максимальное значение  $\mu_{T0}$  и точка максимума  $\eta_0$  имеют значения:

$$\mu_{T0} = \frac{\mu_1}{4} + \frac{\mu_0}{2}, \quad \eta_0 = 1 - \exp\left(\frac{\sqrt{2}-4}{12bR}\right). \quad (22)$$

Если угол  $\theta$  определен приближенной формулой (18), то

$$\eta_0 = \frac{4 - \sqrt{2}}{12bR}. \quad (23)$$

Графики зависимости  $N(\eta)$ , очень близкие и качественно, и количественно к кривой 4, другими подходами получены в [5], [17].

При постоянной турбулентной вязкости профиль скоростей в ядре течения  $0 \leq \xi \leq \xi_0$  имеет вид

$$\frac{u}{u_*} = \frac{u_0}{u_*} + \frac{1}{2N_0}(\xi_0^2 - \xi^2), \quad N_0 = \frac{\mu_{T0}}{\rho u_* R}, \quad (24)$$

$$u_0 = Au_* [\Phi(\xi_0) - \Phi(1)].$$

На рис. 2 для примера представлены профили скоростей при течении воздуха в трубе диаметра  $d = 247$  мм при числе Рейнольдса  $Re = 40260$ . Точками обозначены результаты экспериментов Лауфера [14]. Расчетный профиль скоростей (19), (24) (кривая 1) найден в условиях эксперимента и при тех же расчетных значениях для  $b$ ,  $\mu_0$  и  $\mu_1$ , которые использованы в расчетах для рис. 1. Кривая 2 – график эмпирической формулы [9]

$$\frac{u}{u_*} = \frac{1}{\kappa} \ln(1 + \kappa y_+) + \frac{0,29\kappa y_+^2}{1 + 0,0935(\kappa y_+)^2} + \frac{\eta y_+}{1 + \kappa(y_+/\eta)} [1 + 6\Pi - (1 + 4\Pi)\eta], \quad (25)$$

$$y_+ = \frac{(R-r)u_*}{\nu}$$

при  $\kappa = 0,41$  и  $\Pi = 0,2$ . Кривая 3 – график эмпирической формулы [10]

$$\frac{u}{u_*} = \begin{cases} (u_{\max}/u_*) + 2,44 \ln(\eta) - 0,8 & \text{при } 0 < \eta \leq 0,15 \\ (u_{\max}/u_*) - 7,8(1-\eta)^2 & \text{при } \eta > 0,15 \end{cases} \quad (26)$$

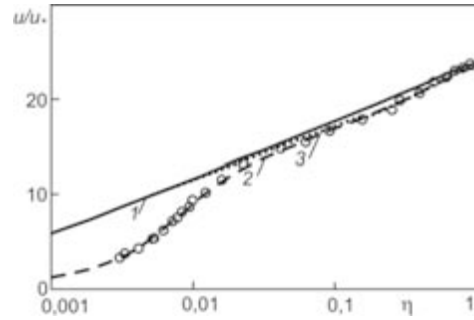


Рис. 2

Очевидно, за исключением очень узкой области, прилегающей к стенке трубы, расчетный профиль близок как к опытным точкам, так и к графикам формул (25), (26).

Из формулы (22) следует, что при уменьшении радиуса трубы  $R$  относительная толщина пристеночного слоя растет, достигая в пределе единицы при стремлении радиуса к нулю. В этом случае область, занимаемая ядром, сужается, так что, не делая большой ошибки, все течение в трубе можно считать анизотропно турбулентным, определяя профиль скоростей во всей области течения формулами (19). Трубы, в которых профиль скоростей (19) имеет место во всей области течения, естественно назвать трубами малого диаметра. Для максимального радиуса труб малого диаметра  $R_{\max}$  формула (22) дает значение  $R_{\max} = 0$ . Однако, если воспользоваться приближенной формулой (23), получим  $R_{\max} = (4 - \sqrt{2})/(12b)$ . Для течений воздуха  $R_{\max} \approx 45$  мм, причем при этом значения радиуса из формулы (22) следует  $\eta_0 = 0,63$ . Использование модели во всей области течения в трубе малого диаметра хорошо согласуется с результатами экспериментов. На рис. 3 приведены расчетные профили скоростей 1 и 4, полученные соответственно по формуле (19) по всему сечению и формулам (19), (24) двухслойной модели для течения воздуха в трубе диаметром  $d = 120$  мм при числе Рейнольдса  $Re = 40000$ ; на рисунке графики совпадают. Кривые 2 и 3 соответственно являются графиками эмпирических формул (25) и (26), полученных при тех же значениях параметров.

Этот факт, по-видимому, можно объяснить тем, что модель не учитывает наличие в структуре вихрей разной длины, так называемой «иерархии вихрей» [16], а ограничивается средним уровнем.

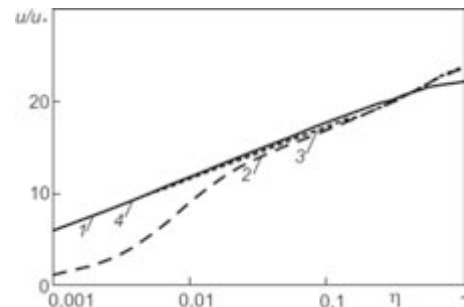


Рис. 3

Предложенная в работе [10] формула (26) также предполагает двухслойность турбулентного течения, что очевидно из самой формулы. Однако природа двухслойности осталась не до конца проясненной, поэтому и толщина пристеночного слоя  $\eta \leq 0,15$  воспринимается просто как результат подгонки при обработке опытных данных.

*Теплообмен.* Имея выражения (19) и (24) для турбулентного профиля скоростей в трубе, можно приступить к решению задачи о теплообмене. Найдем установившееся распределение температуры в полубесконечной трубе  $x \geq 0$  с постоянной температурой стенки  $T_w$ . В принятой системе координат  $r, \varphi, x$  температуру  $T$  отыскиваем в виде  $T = T(r, x)$ . Как и при определении профиля скоростей, задача о распределении температуры в пристеночном слое и ядре течения рассматривается отдельно.

В пристеночном слое движущаяся среда (турбулентная жидкость) имеет локальную симметрию, задаваемую директором  $n_i$ , поэтому с учетом зависимости  $T(r, x)$  закон Фурье записывается в виде

$$\begin{aligned} q_r &= -(\lambda_0 + \lambda_1 n_r^2) \frac{\partial T}{\partial r} - \lambda_1 n_r n_x \frac{\partial T}{\partial x}, \\ q_\varphi &= -\lambda_1 n_\varphi \left( n_r \frac{\partial T}{\partial r} + n_x \frac{\partial T}{\partial x} \right), \\ q_x &= -\lambda_1 n_x n_r \frac{\partial T}{\partial r} - (\lambda_0 + \lambda_1 n_x^2) \frac{\partial T}{\partial x}, \end{aligned} \quad (27)$$

где  $(q_r, q_\varphi, q_x)$  – поток тепла,  $\lambda_0$  и  $\lambda_1$  – коэффициенты модели, характеризующие турбулентную теплопроводность среды. При фиксированном режиме течения коэффициенты  $\lambda_0$  и  $\lambda_1$  считаем постоянными.

Если пренебречь теплопроводностью в направлении течения, то коэффициент турбулентной теплопроводности  $\lambda_T$  в пристеночном слое определяется формулой

$$\lambda_T = \lambda_0 + \lambda_1 n_r^2 = \lambda_0 + \lambda_1 \sin^2 \theta. \quad (28)$$

Пусть внутренние источники тепла отсутствуют:  $Q = 0$ . Тогда, сделав обычные в подобных задачах предположения [6], из уравнения (10) с учетом формул (27) получим уравнение распространения тепла

$$\begin{aligned} &(\lambda_0 + \lambda_1 \sin^2 \theta) \frac{\partial^2 T}{\partial r^2} + \\ &+ \left( \frac{\lambda_0 + \lambda_1 \sin^2 \theta}{r} + \lambda_1 \sin 2\theta \theta' \right) \frac{\partial T}{\partial r} = \\ &= \rho c_p u(r) \frac{\partial T}{\partial x}, \end{aligned} \quad (29)$$

где  $c_p$  – удельная теплоемкость при постоянном давлении.

В ядре течения коэффициент турбулентной теплопроводности  $\lambda_{T0}$ , как и турбулентную вязкость, будем считать постоянным и равным турбулентной теплопроводности  $\lambda_T$  на границе областей  $\xi = \xi_0$ :

$$\lambda_{T0} = \lambda_0 + \frac{\lambda_1}{2}. \quad (30)$$

Тогда уравнение распространения тепла в ядре течения имеет вид

$$\lambda_{T0} \left( \frac{\partial^2 T}{\partial r^2} + \frac{1}{r} \frac{\partial T}{\partial r} \right) = \rho c_p u(r) \frac{\partial T}{\partial x}. \quad (31)$$

Пусть  $T_0 = \text{const}$  – температура во входном сечении  $x = 0$ . Введем безразмерные переменные

$$\Theta = \frac{T - T_w}{T_0 - T_w}, \quad \xi = \frac{r}{R}, \quad X = \frac{x}{R}. \quad (32)$$

Уравнения (29) и (31) можно рассматривать как одно уравнение во всей области течения, которое после подстановки в него соответственно профилей скоростей (19) и (24) в безразмерных переменных (32) имеет вид

$$\begin{aligned} &\frac{\partial^2 \Theta}{\partial \xi^2} + \Psi_1(\xi) \frac{\partial \Theta}{\partial \xi} = \Psi_2(\xi) \frac{\partial \Theta}{\partial X}, \\ &\Psi_2(\xi) = \begin{cases} \frac{\rho c_p u(\xi) R}{\lambda_{T0}}, & 0 < \xi < \xi_0, \\ \frac{\rho c_p u_* AR (\Phi(\xi) - \Phi(1))}{\lambda_0 + \lambda_1 (1 - t^2(\xi))}, & \xi_0 < \xi < 1. \end{cases} \end{aligned} \quad (33)$$

Уравнение (33) должно удовлетворять граничным условиям

$$\Theta(\xi, 0) = 1, \quad \Theta(1, X) = 0, \quad \frac{\partial \Theta(0, X)}{\partial \xi} = 0 \quad (34)$$

и условиям срачивания решений на границе областей  $\xi = \xi_0$

$$\begin{aligned} &\Theta(\xi_0 - 0, X) = \Theta(\xi_0 + 0, X), \\ &\frac{\partial \Theta(\xi_0 - 0, X)}{\partial \xi} = \frac{\partial \Theta(\xi_0 + 0, X)}{\partial \xi}. \end{aligned} \quad (35)$$

Равенства (35) выражают равенство температур и потоков тепла при переходе через границу  $\xi = \xi_0$ .

Функции  $\Psi_1(\xi)$  и  $\Psi_2(\xi)$  в уравнении (33) на границе  $\xi = \xi_0$ , очевидно, разрывные. Однако вследствие первого условия (35) на границе слов решение  $\Theta(\xi, X)$  должно быть непрерывно.

Как и в [3], решение уравнения (33) будем искать приближенно, методом Галеркина, в виде

$$\Theta(\xi, X) = \sum_{k=1}^n g_k(X) \varphi_k(\xi), \quad (36)$$

взяв здесь в качестве базисных непрерывные функции  $\varphi_k(\xi)$ , удовлетворяющие второму и третьему граничным условиям (34) и первому условию непрерывности (35):

$$\begin{aligned} \varphi_k(\xi) &= \Phi_0(\xi) \cos((k-1)\pi\xi), \\ k &= 1, 2, \dots, n, \\ \Phi_0(\xi) &= \begin{cases} F_0(\xi) - F_0(1), & \xi_0 \leq \xi \leq 1 \\ \frac{\Phi_0(\xi_0)}{u(\xi_0)} \left[ u(\xi_0) + \frac{1}{2N_0}(\xi_0^2 - \xi^2) \right], & 0 \leq \xi < \xi_0 \end{cases} \quad (37) \\ F_0(\xi) &= 2(3bR-1) \ln \frac{\gamma - t(\xi)}{\gamma + t(\xi)} + \\ &+ \ln \frac{\gamma^2 - t^2(\xi)}{t^2(\xi) + \gamma^2 - 1} + \ln |t^4(\xi) - t^2(\xi) - \varepsilon| + 2t^2(\xi). \end{aligned}$$

где  $t(\xi)$  – функция, определенная третьей формулой (19). Функции  $g_k(X)$ , удовлетворяющие первому граничному условию (34), определяются стандартной процедурой метода Галеркина [7].

Формула (36) дает приближенное решение задачи. Местное число Нуссельта  $Nu = \alpha d/\lambda$  можно вычислить затем по формуле [9], [10]

$$\begin{aligned} Nu &= -\frac{2\lambda_0}{\lambda \bar{\Theta}} \left( \frac{\partial \Theta}{\partial \xi} \right)_{\xi=1}, \quad (38) \\ \bar{\Theta}(X) &= \frac{2}{w_0} \int_0^1 \Theta(\xi, X) u(\xi) \xi d\xi, \end{aligned}$$

где  $\alpha$  – коэффициент теплоотдачи,  $\lambda$  – коэффициент теплопроводности газа,  $\bar{\Theta}$  – средняя массовая температура по сечению и  $w$  – средняя скорость в трубе.

Для сравнения с опытными данными решение (36) было реализовано при конкретных условиях. Жидкость – воздух:  $\rho = 1,205 \text{ кг/м}^3$ ,  $\nu = 1,5 \cdot 10^{-5} \text{ м}^2/\text{с}$ ,  $\lambda = 2,57 \cdot 10^{-2} \text{ Вт/(м} \cdot \text{К)}$ ,  $c_p = 1002 \text{ Дж/(кг} \cdot \text{К)}$ , число Прандтля  $Pr = 0,705$ . Коэффициенты модели те же, что были найдены из сравнения с опытными данными для труб малого диаметра [3]:  $\lambda_0 = 0,28R \text{ и}^* \text{ Вт/(м} \cdot \text{К)}$ ,  $\lambda_1 = 46,5 \text{ и}^* \text{ Вт/(м} \cdot \text{К)}$ . Расчеты проведены при  $n = 25$ .

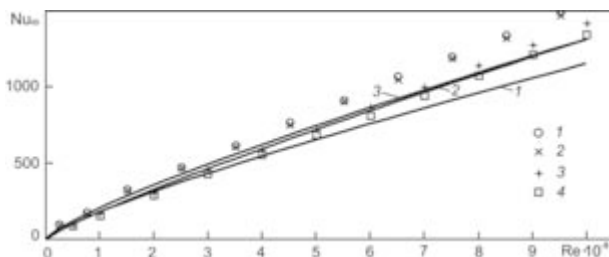


Рис. 4

В результате расчета получены значения предельного числа Нуссельта  $Nu_\infty = Nu|_{X=200}$  при числах Рейнольдса вплоть до  $Re = 10^6$  в трубах диаметров  $d = 100; 200; 300; 400 \text{ мм}$  (точки на рис. 4). Для сравнения на рисунке приведены также графики эмпирических формул: кривая 1 [9]

$$Nu_\infty = \frac{f Re Pr / 8}{1 + \frac{900}{Re} + 12,7 \sqrt{\frac{f}{8}} (Pr^{2/3} - 1)}; \quad (39)$$

кривая 2 [10]

$$Nu_\infty = 7,6 - \frac{3,6}{\lg Re} + 0,0096 Re^{0,87} Pr^{0,605}; \quad (40)$$

кривая 3 [12]

$$Nu_\infty = \frac{Re Pr \sqrt{f/2}}{4,24 \ln(Re \sqrt{f/16}) + 25,0 Pr^{2/3} + 4,24 \ln Pr - 20,2}, \quad (41)$$

где  $f = (1,821 \lg(Re/8))^{-2}$ .

Графики на рис. 4 позволяют отметить следующее. Во-первых, эмпирические формулы (39)–(41) не вполне эквивалентны друг другу. Если формулы (40) и (41) дают близкие значения практически во всем диапазоне чисел Рейнольдса, то формула (39) близка к ним примерно до  $Re = 3 \cdot 10^5$ . Во-вторых, расчетные значения зависимости  $Nu_\infty(Re)$  зависят от диаметра трубы. Однако разность значений  $Nu_\infty$  для труб диаметра 100–400 мм при одном и том же числе Рейнольдса невелика (не более 6–7 % от среднего значения), так что в экспериментах такая разность может рассматриваться как ошибка эксперимента, а сами значения зависимости  $Nu_\infty(Re)$  как независимые от диаметра.

## ВЫВОДЫ

Модель анизотропной турбулентности является базой для рассматриваемой двухслойной модели турбулентного течения и теплообмена в трубе. С использованием ее характерного параметра – директора – вводятся определяющие уравнения пристеночной турбулентности и теплопроводности, коэффициенты турбулентной вязкости и теплопроводности в ядре течения, а также граница между пристеночной областью и ядром течения. При решении задач и последующем сравнении результатов решений с опытными данными были использованы устойчивые зависимости для коэффициентов модели, которые были найдены ранее при решении других задач и которые можно рассматривать как характерные для среды.

В заключение автор выражает искреннюю благодарность В. Н. Николаевскому за внимание к работе и ценные замечания.

## СПИСОК ЛИТЕРАТУРЫ

1. Бабкин В. А. Анизотропная турбулентность при течении несжимаемой жидкости между параллельными плоскими стеками // Прикладная математика и механика. 1985. Т. 49. Вып. 3. С. 401–405.
2. Бабкин В. А. Турбулентный поток в пристеночной области как течение анизотропной жидкости // Инженерно-физический журнал. 2002. Т. 75. № 5. С. 69–73.
3. Бабкин В. А. Теплообмен в круглой трубе при моделировании турбулентного течения воздуха течением ориентированной жидкости // Инженерно-физический журнал. 2006. Т. 79. № 1. С. 155–161.
4. Козлов В. В., Левченко В. Я., Сарик В. С. Образование трехмерных структур при переходе к турбулентности в пограничном слое // Изв. АН СССР. Механика жидкости и газа. 1984. № 6. С. 42–50.
5. Лапин Ю. В., Нехамкина О. А., Стрелец М. Х. Полуэмпирические модели турбулентности для пристенных течений. Установившееся течение в круглой трубе с гладкими стенками // Изв. АН СССР. Механика жидкости и газа. 1990. № 2. С. 31–36.
6. Лыков А. В. Теплообмен: Справочник. М.: Энергия, 1978. 479 с.
7. Марчук Г. И. Методы вычислительной математики. М.: Наука, 1977. 455 с.
8. Николаевский В. Н. Пространственное осреднение и теория турбулентности // Вихри и волны. М.: Мир, 1984. С. 266–335.
9. Петухов Б. С., Поляков А. Ф. Теплообмен при смешанной турбулентной конвекции. М.: Наука, 1986. 192 с.
10. Структура турбулентного потока и механизм теплообмена в каналах. М.: Атомиздат, 1978. 296 с.
11. Ericksen J. L. Conservation laws for liquid crystals // Trans. Soc. Rheol. 1961. Vol. 5. № 1. P. 23–34.
12. Kader B. A., Yaglom A. M. Heat and mass transfer laws for fully turbulent wall flows // Int. J. Heat Mass Transfer. 1972. Vol. 15. № 12. P. 2329–2351.
13. Labraga L., Lagraa B., Mazouz A., Keirsbulck L. Propagation of shear-layer structures in near-wall region of a turbulent boundary layer // Experiments in Fluids. 2002. Vol. 33. № 5. P. 670–676.
14. Laufer J. The structure of turbulence in fully developed pipe flow. NACA. 1954. Rep. № 1174.
15. Leslie F. M. Some constitutive equations for liquid crystals // Arch. Ration. Mech. and Analysis. 1968. Vol. 28. № 4. P. 265–283.
16. Perry A. E., Henbest S. and Chong M. S. A theoretical and experimental study of wall turbulence // J. Fluid Mech. 1986. Vol. 165. P. 163–199.
17. Poje A. C., Lumley J. L. A model for large-scale structures in turbulent shear flows // J. Fluid Mech. 1995. Vol. 285. P. 349–369.
18. Reichardt H. Vollständige Darstellung der turbulenten Geschwindigkeitsverteilung in glatten Leitungen // Z. Angew. Math. Mech. 1951. Bd. 31. S. 208–219.
19. Travis J. R., Buhr H. O., Sesonske A. A model for velocity and eddy diffusivity distributions in fully turbulent pipe flow // The Canadian Journal of Chemical Engineering. 1971. Vol. 49. № 1. P. 14–18.